

ارائه و تحلیل دینامیکی نوع جدیدی از اتوبالانسر اتوماتیک سه ساقمه‌ای

موسی رضائی^{1*}، رضا فتحی²

1- دانشیار، دانشکده مهندسی مکانیک، دانشگاه تبریز، تبریز، ایران

2- دانشجوی دکترا، دانشکده مهندسی مکانیک، دانشگاه تبریز، تبریز، ایران

* تبریز، صندوق پستی 51665-315

m_rezaee@tabrizu.ac.ir

چکیده

نابالانسی یکی از عوامل مخرب و از دلایل اصلی ارتعاشات ناخواسته در ماشین‌های دوار است. یکی از روش‌های جدید مورد استفاده برای رفع نابالانسی استفاده از بالانسر دینامیکی اتوماتیک ساقمه‌ای است. در تحقیقات پیشین، مطالعات گسترده‌ای بر روی رفتار دینامیکی و پایداری این نوع بالانسرها انجام شده است که این مطالعات علاوه بر مزایای متعدد، نشانگر دو عیب عمدی در عملکرد این نوع اتوبالانسر است. افزایش دامنه در سرعت‌های دورانی زیر دور بحرانی اول و محدود بودن ناحیه بالانس پایدار دو عیب مذکور می‌باشد. در این مقاله طرح جدیدی از اتوبالانسر با سه ساقمه ارائه شده و معادلات حاکم بر سیستم با استفاده از معادلات لاگرانژ استخراج و محدوده‌ی بالانس پایدار سیستم تعیین شده است. با تحلیل دینامیکی مدل ارائه شده، نشان داده شده است که در سیستم جدید علاوه بر کاهش قابل ملاحظه دامنه در دورهای زیر دور بحرانی اول، محدوده‌ی بالانس پایدار سیستم نیز افزایش می‌یابد. کاهش دامنه در ناحیه مذکور سبب افزایش عمر سیستم می‌شود. همچنین افزایش ناحیه بالانس پایدار سبب می‌شود که این نوع بالانسر توانایی بالانس سیستم‌ها با محدوده‌ی وسیع‌تری از پارامترها را داشته باشد.

اطلاعات مقاله

مقاله پژوهشی کامل

دریافت: 16 تیر 1394

پذیرش: 27 مرداد 1394

ارائه در سایت: 08 شهریور 1394

کلید واژگان:

اتوبالانسر ساقمه‌ای

ناحیه گذرا

ناحیه بالانس پایدار

Presenting and dynamic analysis of a new type of three-ball automatic balancer

Mousa Rezaee*, Reza Fathi

Department of Mechanical Engineering, University of Tabriz, Tabriz, Iran.

*P.O.B. 51665-315 Tabriz, Iran, m_rezaee@tabrizu.ac.ir

ARTICLE INFORMATION

Original Research Paper

Received 07 July 2015

Accepted 18 August 2015

Available Online 30 August 2015

Keywords:

Automatic ball balancer

transient state

Balanced stable region

ABSTRACT

The unbalancing is a destructive phenomenon and a major cause of undesired vibrations in rotating machinery. One of the new methods used to reduce the imbalance is the implementation of automatic dynamic ball balancer. In previous studies the dynamic behavior of automatic ball balancer has been investigated. These studies indicate numerous advantages of automatic ball balancer. However, the traditional automatic ball balancer has two major deficiencies: First, the rotor vibration amplitude is larger than that of a rotor without an automatic ball balancer in speeds below the first critical speed and, the second deficiency is that it has a limited stable region of the perfect balancing configuration. In this paper, a new design of a three-ball automatic balancer is introduced. The governing equations of motion are derived using the Lagrange's equations, and the balanced stable region is obtained. It is shown that this type of automatic ball balancer can prevent the vibrations of the rotor from increasing at the speed range below the first critical speed. Moreover, the new type of balancer increases the balance stable region of the system. Reducing the vibration amplitude in the mentioned range causes the lifetime of the system to be increased. Moreover, increasing the balanced stable region allows the new design of balancer to balance the systems with a wider range of parameters.

شرایطی، استفاده از اتوبالانسر ساقمه‌ای دینامیکی توصیه می‌شود که قادر است بدون نیاز به متوقف کردن دستگاه برای عملیات بالانس، عمل بالانس را انجام دهد. اتوبالانسر ساقمه‌ای کاربردهای متفاوتی از جمله در سی‌دی‌رام یا دی‌وی‌دی درایوها و ماشین‌های ابزار دارد [4-1]. بالانسر دینامیکی ساقمه‌ای متداول از یک دیسک دوار شیاردار تشکیل شده است که در آن ساقمه‌هایی قرار دارند و در فضای خالی بین ساقمه‌ها در داخل شیار، یک مایع لزج وجود دارد. تحت شرایطی این ساقمه‌ها نهایتاً در وضعیتی قرار می‌گیرند که نابالانسی سیستم را جبران کرده و آن را به حالت بالانس در می‌آورند.

1- مقدمه

نابالانسی باعث ایجاد ارتعاشات ناخواسته، سر و صدا و کاهش عمر در سیستم‌های دوار می‌شود. نابالانسی وقتی اتفاق می‌افتد که محور اینرسی اصلی روتور منطبق بر محور دوران آن نباشد. اگر نابالانسی مشخص و ثابت باشد با استفاده از روش‌های معمول، عملیات بالانس سیستم پس از متوقف کردن دستگاه و با وزنه‌گذاری یا برداشتن جرم از صفحات خاصی که جهت انجام این کار بر روی روتور تعییه شده‌اند انجام می‌پذیرد. ولی در صورتی که نابالانسی بسته به شرایط کاری تغییر کند دیگر با یک بار بالانس کردن، مشکل حل نمی‌شود. در چنین

Please cite this article using:

M. Rezaee, R. Fathi, Presenting and dynamic analysis of a new type of three-ball automatic balancer, *Modares Mechanical Engineering*, Vol. 15, No. 10, pp. 97-103, 2015 (In Persian)

اتوبالانسر نشان داده است که ناحیه بالانس پایدار به پارامترهای سیستم از جمله جرم، سفتی و ثابت میرایی بستگی دارد. به همین منظور برای این که بالانسر قادر به بالانس سیستم باشد، باید پارامترهای سیستم در محدوده‌ی بالانس پایدار قرار گیرند. محدود بودن این ناحیه سبب می‌شود اتوبالانسر قادر به بالانس سیستم‌های با مقدار پارامترهای معین باشد. در تحقیق دیگر، در سال 2011 چانق و همکارش [26] با ارائه طرح جدیدی از اتوبالانسر که در آن ساقمه‌ها به فنرهای شعاعی متصل هستند محدوده‌ی بالانس پایدار سیستم را افزایش دادند.

با توجه به این که تاکنون مدلی که دارای دو مزیت ذکر شده به طور همزمان باشد ارائه نشده است در تحقیق حاضر، طرح جدیدی از اتوبالانسر ارائه می‌شود که دارای دو مزیت ذکر شده به طور همزمان می‌باشد. به عبارت دیگر مزیت این اتوبالانسر نسبت به مدل ارائه شده در مرجع [26] کمتر بودن دامنه پاسخ در ناحیه گذرا و نسبت به مدل ارائه شده در مرجع [25] وسیعتر بودن ناحیه بالانس پایدار می‌باشد. در این مقاله مدل ریاضی سیستم جدید بودن ناحیه بالانس پایدار می‌باشد. در این مقاله مدل استخراج از معادلات لاغرانژ استخراج و محدوده‌ی پارامترهایی که باعث بالانس سیستم می‌شود به دست آمده و با بالانسر نوع متداول مقایسه شده است.

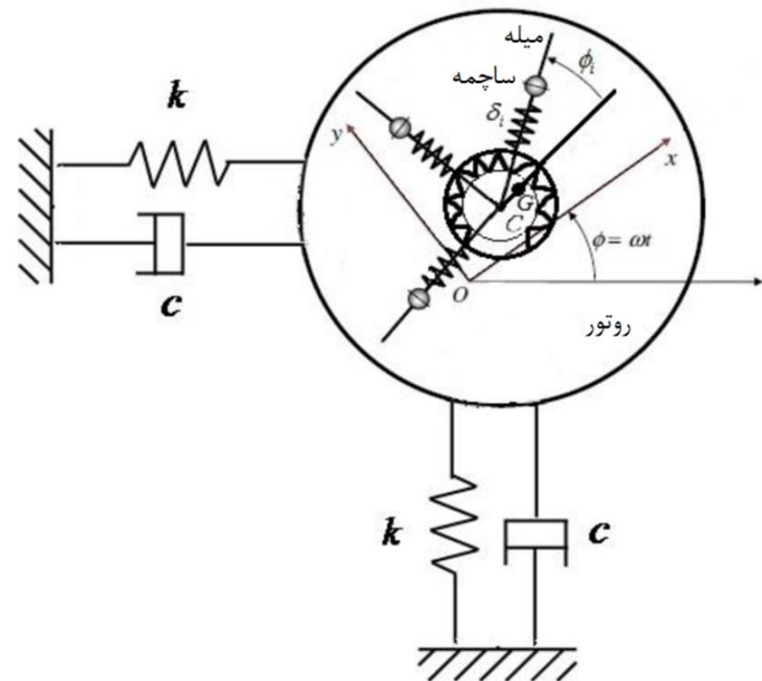
2- استخراج معادلات حرکت اتوبالانسر جدید

در شکل 1 بالانسر ساقمه‌ای جدید که بر روی یک روتور نابالانس نصب گردیده نشان داده شده است. خط واصل محور یاتاقان‌ها از نقطه 0 می‌گذرد. مرکز جرم با G و خروج از مرکز با δ_i نشان داده شده است. موقعیت ساقمه‌ها به وسیله شعاع δ_i و زاویه ϕ_i , $i = 1, 2, \dots, n$ تعیین می‌شود که n تعداد ساقمه‌ها می‌باشد. مرکز هندسی C با استفاده از مختصات Oxy که با همان سرعت زاویه‌ای روتور چرخش می‌کند به عنوان مرجع انتخاب شده است. هنگامی که روتور در حالت سکون قرار دارد C منطبق بر 0 می‌باشد.

همان‌طور که در شکل 1 مشاهده می‌شود برخلاف نوع متداول اتوبالانسر که ساقمه‌ها در داخل شیاری حرکت می‌کنند در اتوبالانسر نوع جدید ساقمه‌ها به فنرهای شعاعی متصل بوده و بر روی میله‌های نازک قادر به حرکت هستند. هر یک از میله‌ها می‌توانند نسبت به روتور و نسبت به یکدیگر حرکت نسبی زاویه‌ای داشته باشند. میله‌ها به فنرهای محیطی متکی هستند و این فنرها با کنترل موقعیت میله‌ها سبب کنترل موقعیت‌های زاویه‌ای ساقمه‌ها می‌شوند.

لازم به توضیح است که در اتوبالانسر متداول در ناحیه گذرا به دلیل همگرایی ساقمه‌ها به طرف نابالانسی، نیروی گریز از مرکز وارد بر ساقمه‌ها با نیروی ناشی از نابالانسی جمع شده و سبب می‌شود دامنه ارتعاشی روتور مجهر به بالانسر نوع متداول در این ناحیه نسبت به روتور بدون بالانسر افزایش یابد. همچنین با افزایش سرعت دورانی از اولین دور بحرانی، ساقمه‌ها در مقابل نابالانسی قرار می‌گیرد و نیروی گریز از مرکز ناشی از ساقمه‌ها نیروی گریز از مرکز ناشی از نابالانسی را کاهش داده و سبب کاهش دامنه ارتعاش در حالت پایا و بالانس سیستم می‌شود. در حالی که در اتوبالانسر جدید ارائه شده در این مقاله از فنرهای محیطی استفاده شده تا از همگرایی ساقمه‌ها در ناحیه گذرا خودداری شود تا دامنه سیستم در این ناحیه افزایش پیدا نکند. در ادامه نحوه استخراج معادلات روتور مجهر به اتوبالانسر نوع جدید ارائه می‌شود.

معادلات غیرخطی حاکم بر حرکت اتوبالانسر جدید را می‌توان با استفاده از معادلات لاغرانژ که در رابطه (1) نشان داده شده به دست آورد:



شکل 1 پیکربندی بالانسر اتوماتیک ساقمه‌ای جدید

مطالعات پایه‌ای در رابطه با این نوع از بالانسر به وسیله تیرل [5]، الکساندر [6] و کید [7] انجام شده است. رفتار دینامیکی و پایداری روتور صفحه‌ای مجهر به اتوبالانسر در مراجع [12-18] بطور مفصل بررسی شده است. در مراجع [17-18] رفتار دینامیکی روتور غیرصفحه‌ای مجهر به اتوبالانسر ساقمه‌ای بررسی شده است. در سال 2009 احیایی و همکارش [18] به بررسی تحلیلی و عددی یک محور انعطاف پذیر دور نابالانس واقع بر روی دو تکیه‌گاه الاستیک خطی و مجهر به چندین اتوبالانسر ساقمه‌ای پرداختند. آن‌ها با فرض توزیع نابالانسی به صورت جرم‌های نقطه‌ای در طول محور دور بدون جرم، معادلات حرکت را استخراج کردند و نشان دادند که با انتخاب مناسب پارامترهای بالانسر می‌توان شفت را بالانس نمود و هنگامی که بالانسرها در نزدیکی نابالانسی‌ها قرار داده شوند نتایج بهتری حاصل می‌شود. در سال 2011 چان و همکارانش [19] تاثیر غیرخطی بودن سیستم در عملکرد بالانسر ساقمه‌ای را مورد مطالعه قرار دادند. سانق و همکارانش [20] در سال 2013 به بررسی تاثیر تحریک خارجی بر موقعیت زاویه‌ای ساقمه‌ها پرداخته‌اند. در سال 2014 رضائی و همکارش [21] تاثیر ضریب میرایی و جرم ساقمه‌های اتوبالانسر بر پایداری و بالانس روتور مجهر به اتوبالانسر در غیاب اثر ژیروسکوپی را بررسی کردند. در سال 2015 رضائی و همکارش [22] با لحاظ کردن اثرات ژیروسکوپی و با استفاده از الگوریتم سیمپلکس نلدر-مید پارامترهای بهینه اتوبالانسر به منظور کمینه‌سازی زمان بالانس و صفر کردن زوایای اویلر را استخراج کردند.

مرور تحقیقات پیشین نشان می‌دهد که اتوبالانسر ساقمه‌ای علاوه بر مزایای متعدد، از جمله ساختار ساده و بالانس اتوماتیک نابالانسی‌های متغیر در شرایط خاص [23] دارای دو عیب عمده می‌باشد که عبارتند از: افزایش دامنه در ناحیه گذرا (از حالت سکون تا رسیدن به دور بحرانی اول) [24] و محدود بودن ناحیه بالانس پایدار. با توجه به این که این نوع بالانسر عمده‌ای در سیستم‌هایی به کار می‌رود که ممکن است در طول روز چند بار روشن و خاموش شوند بنابراین افزایش دامنه در ناحیه گذرا سبب ایجاد صدا و کاهش عمر سیستم می‌شود. دلیل افزایش دامنه سیستم در ناحیه گذرا، همگرایی ساقمه‌ها به طرف نابالانسی در دورهای زیر دور بحرانی اول است. در سال 2013 سانقس و همکارش [25] با ارائه طرحی که در آن با قرار دادن فنرهایی به صورت محیطی موقعیت ساقمه‌ها را در ناحیه مذکور کنترل کرده و با جلوگیری از همگرایی ساقمه‌ها به طرف نابالانسی سبب کاهش دامنه سیستم شدند. تحلیل‌های انجام شده در مورد پایداری روتور مجهر به

$k_b = k_d = 0$, $\dot{\omega} = 0$, $\delta_i = 0$, $R = 0$, $\dot{\delta}_i = 0$ و صحت روابط اخیر با قرار دادن R در روابط (5) تا (9)، که به روابط موجود در مقالات [10-9] منجر می‌شود تائید می‌گردد.

3- بی بعد کردن پارامترها

به منظور کسب نتایج عمومی‌تر، پارامترهای بی بعد به صورت رابطه (10) تعریف می‌شوند:

$$\begin{aligned}\zeta &= \frac{c}{2\sqrt{Mk}}, \bar{m} = \frac{m_b}{M}, \bar{\omega} = \frac{\omega}{\omega_n}, \beta = \frac{c_r}{2m_b\omega_n}, \tau = \omega_n t \\ \bar{x} &= \frac{x}{\lambda}, \bar{y} = \frac{y}{\lambda}, \bar{\delta}_i = \frac{\delta_i}{\lambda}, \bar{\varepsilon} = \frac{\varepsilon}{\lambda}, f = \frac{\omega_b}{\omega_n}, r = \sqrt{\bar{x}^2 + \bar{y}^2}\end{aligned}\quad (10)$$

که در آن ζ بیانگر نسبت میرایی سیستم و β نشان دهنده نسبت میرایی بالانسر، $\bar{\delta}_i$ بجاگایی بی بعد ساچمه‌ها در راستای شعاعی، λ طول تعادل فنرهای شعاعی می‌باشد. ω_n فرکانس طبیعی سیستم بدون اتوبالانسر و ω_b فرکانس طبیعی سیستم ساچمه-فنر شعاعی است. معادلات حرکت سیستم با استفاده از

پارامترهای بی بعد معرفی شده به صورت روابط (11) تا (14) بدست می‌آید:

$$\begin{aligned}\ddot{x} + \bar{m} \sum_{i=1}^n &\left[(\ddot{\delta}_i - \bar{\delta}_i(\dot{\phi}_i + \bar{\omega})^2) \cos\phi_i \right. \\ &\left. - \bar{\delta}_i \bar{\omega} \sin\phi_i - (\bar{\delta}_i \dot{\phi}_i + 2\dot{\delta}_i(\dot{\phi}_i + \bar{\omega})) \sin\phi_i \right] \\ &- (1 - \bar{m}) \bar{\varepsilon} \bar{\omega}^2 - 2\bar{\omega} \dot{y} - (2\zeta \bar{\omega} + \dot{\bar{\omega}}) \bar{y} \\ &+ 2\zeta \dot{x} + (1 - \bar{\omega}^2) \bar{x} = 0\end{aligned}\quad (11)$$

$$\begin{aligned}\ddot{y} + \bar{m} \sum_{i=1}^n &\left[(\ddot{\delta}_i - \bar{\delta}_i(\dot{\phi}_i + \bar{\omega})^2) \sin\phi_i \right. \\ &\left. + \bar{\delta}_i \dot{\bar{\omega}} \cos\phi_i + (\bar{\delta}_i \dot{\phi}_i + 2\dot{\delta}_i(\dot{\phi}_i + \bar{\omega})) \cos\phi_i \right] \\ &+ (1 - \bar{m}) \bar{\varepsilon} \dot{\bar{\omega}} + 2\bar{\omega} \dot{x} + (2\zeta \bar{\omega} + \dot{\bar{\omega}}) \bar{x} \\ &+ 2\zeta \dot{y} + (1 - \bar{\omega}^2) \bar{y} = 0\end{aligned}\quad (12)$$

$$\begin{aligned}\bar{\delta}_i \bar{m} [2\dot{\delta}_i(\dot{\phi}_i + \bar{\omega})] &+ (\ddot{x} - 2\bar{\omega} \dot{y} + \dot{\bar{\omega}} \bar{y} - \bar{\omega}^2 \bar{x}) \\ &\times \sin\phi_i + (\ddot{y} + 2\bar{\omega} \dot{x} + \dot{\bar{\omega}} \bar{x} - \bar{\omega}^2 \bar{y}) \cos\phi_i\end{aligned}\quad (13)$$

$$\begin{aligned}&+ \bar{\delta}_i \ddot{\phi}_i + \bar{\delta}_i \dot{\bar{\omega}}] + 2\beta \bar{m} \bar{\delta}_i^2 \dot{\phi}_i + \eta \bar{m} q_i(\phi_i) = 0 \\ \bar{m}[(\ddot{x} - 2\bar{\omega} \dot{y} - \bar{\omega}^2 \bar{x}) \cos\phi_i &+ (\ddot{y} + 2\bar{\omega} \dot{x} - \bar{\omega}^2 \bar{y}) \sin\phi_i + \ddot{\delta}_i - \bar{\delta}_i \dot{\phi}_i^2 - 2\bar{\delta}_i \bar{\omega} \dot{\phi}_i] \\ &+ \dot{\bar{\omega}} \bar{m} (\bar{x} \sin\phi_i - \bar{y} \cos\phi_i) + 2\beta \bar{m} \dot{\delta}_i \\ &+ \bar{m}(\bar{\delta}_i - 1)(f^2 - \bar{\omega}^2) = 0\end{aligned}\quad (14)$$

بعد از استخراج معادلات غیرخطی حرکت، پاسخ‌های زمانی سیستم اتوبالانسر با استفاده از روش رانگ کوتای مرتبه‌ی 4 قابل استخراج است.

در شکل 2 پاسخ زمانی روتور در سه حالت رسم شده است: 1- روتور مجهز به اتوبالانسر نوع متداول 2- روتور مجهز به اتوبالانسر نوع جدید 3- روتور بدون اتوبالانسر. همان‌طور که از این شکل مشاهده می‌شود پاسخ ارتعاشی در سیستم مجهز به اتوبالانسر نوع جدید در ناحیه گذرا نسبت به روتور مجهز به اتوبالانسر متداول کاهش یافته است. همان‌طور که قبل توضیح داده شد همگرایی ساچمه‌ها به طرف نابالانسی در روتور مجهز به اتوبالانسر نوع متداول سبب افزایش دامنه ارتعاشی سیستم می‌شود. به همین دلیل در سیستم جدید فنرهایی به صورت محیطی قرار داده شده است که در ناحیه مذکور از همگرایی ساچمه‌ها و در نتیجه از افزایش دامنه ارتعاشی سیستم جلوگیری می‌کند. دلیل این که ساچمه‌ها قادر به فشرده کردن فنرهای در ناحیه گذرا نیستند این است که نیروی گریز از مرکز وارد بر ساچمه‌ها متناسب با سرعت روتور و شعاع دورانی ساچمه‌ها می‌باشد و در ناحیه گذرا سرعت روتور و شعاع دورانی ساچمه‌ها کم بوده و در نتیجه مؤلفه‌ی مماسی ناشی از نیروی گریز از مرکز کوچک است و قادر به فشرده کردن فنرها نمی‌باشد و در دورهای بالای دور بحرانی اول به دلیل بالا رفتن سرعت روتور و باز شدگی فنرهای شعاعی، نیروی گریز از مرکز افزایش یافته و در نتیجه نیروی مماسی افزایش یافته و با فشرده کردن فنرها به موقعیت تعادل پایدار خود رفته و سبب بالانس سیستم می‌شود. بنابراین

$$\frac{d}{dt} \left(\frac{\partial T}{\partial q_k} \right) - \frac{\partial T}{\partial q_k} + \frac{\partial V}{\partial q_k} + \frac{\partial F}{\partial q_k} = 0 \quad k = 1, 2, \dots, n \quad (1)$$

که در آن T انرژی جنبشی، V انرژی پتانسیل، F تابع اتلاف ریلی و q_k مختصات تعیین یافته می‌باشند که عبارتند از x, y, ϕ_i و δ_i که $i = 1, 2, \dots, n$ است.

با فرض یکسان بودن جرم ساچمه‌ها و کوچک بودن قطر آن‌ها، انرژی

جنبشی اتوبالانسر ساچمه‌ای به همراه روتور از رابطه (2) بدست می‌آید:

$$\begin{aligned}T &= \frac{1}{2} J \omega^2 + \frac{1}{2} M [\dot{x}^2 + \dot{y}^2 + 2(x\dot{y} - \dot{x}y)\omega \\ &+ \omega^2(x^2 + y^2)] + \frac{1}{2} m_d (2x\varepsilon\omega^2 + \varepsilon^2\omega^2 \\ &+ 2\varepsilon\dot{y}\omega) + \frac{1}{2} m_b \sum_{i=1}^n [\dot{\delta}_i^2 + 2\delta_i(\dot{\phi}_i + \omega) \times \\ &(\dot{y} + \omega x) \cos\phi_i - 2\delta_i(\dot{\phi}_i + \omega)(\dot{x} - \omega y) \sin\phi_i \\ &+ \delta_i^2(\dot{\phi}_i + \omega)^2 + 2\dot{\delta}_i(\dot{x} - \omega y) \cos\phi_i \\ &+ 2\dot{\delta}_i(\dot{y} + \omega x) \sin\phi_i]\end{aligned}\quad (2)$$

که در آن J ممان اینرسی دیسک حول مرکز جرم، M جرم کل، m_d جرم روتور و m_b جرم هر یک از ساچمه‌ها است. با صرفنظر کردن از انرژی پتانسیل گرانشی، انرژی پتانسیل سیستم را می‌توان به صورت رابطه (3) بیان کرد:

$$\begin{aligned}V &= \frac{1}{2} k(x^2 + y^2) + \frac{1}{2} k_b \sum_{i=1}^n (\delta_i - a)^2 \\ &+ \frac{1}{2} k_d d^2 \left[(\phi_2 - \phi_1 - \frac{2\pi}{n})^2 + \dots \right. \\ &\left. + (\phi_n - \phi_{n-1} - \frac{2\pi}{n})^2 \right]\end{aligned}\quad (3)$$

که در آن k سفتی معادل روتور، k_d سفتی فنرهای محیطی و k_b سفتی فنرهای شعاعی می‌باشد. همچنین تابع اتلاف ریلی را نیز می‌توان به صورت رابطه (4) بیان نمود:

$$\begin{aligned}F &= \frac{1}{2} c[\dot{x}^2 + \dot{y}^2 + 2(x\dot{y} - \dot{x}y)\omega \\ &+ \omega^2(x^2 + y^2)] + \frac{1}{2} c_r \sum_{i=1}^n (\dot{\delta}_i^2 + \delta_i^2 \dot{\phi}_i^2)\end{aligned}\quad (4)$$

که در آن c ثابت میرایی معادل روتور، c_r ثابت میرایی لزج می‌باشد. فرض می‌شود که ثابت‌های میرایی لزج برای همه ساچمه‌ها یکسان است. معادلات غیرخطی حرکت روتور مجهز به اتوبالانسر جدید با استفاده از معادلات لاغرانژ به صورت روابط (5) تا (9) به دست می‌آیند:

$$\begin{aligned}M \ddot{x} + m_b \sum_{i=1}^n &[(\ddot{\delta}_i - \delta_i(\dot{\phi}_i + \omega)^2) \cos\phi_i \\ &- \delta_i \dot{\omega} \sin\phi_i - (\delta_i \ddot{\phi}_i + 2\dot{\delta}_i(\dot{\phi}_i + \omega)) \sin\phi_i] \\ &- m_d \varepsilon \omega^2 + c \dot{x} - 2M \omega \dot{y} + (k - M \omega^2)x \\ &- (c\omega + M\dot{\omega})y = 0\end{aligned}\quad (5)$$

$$\begin{aligned}M \ddot{y} + m_b \sum_{i=1}^n &[(\ddot{\delta}_i - \delta_i(\dot{\phi}_i + \omega)^2) \sin\phi_i \\ &+ \delta_i \dot{\omega} \cos\phi_i + (\delta_i \ddot{\phi}_i + 2\dot{\delta}_i(\dot{\phi}_i + \omega)) \cos\phi_i] \\ &+ m_d \varepsilon \dot{\omega} + c \dot{y} + 2M \omega \dot{x} + (k - M \omega^2)y \\ &+ (c\omega + M\dot{\omega})x = 0\end{aligned}\quad (6)$$

$$\begin{aligned}\delta_i m_b [2\dot{\delta}_i(\dot{\phi}_i + \omega) - (\ddot{x} - 2\omega \dot{y} + \dot{\omega}y - \omega^2 y) \sin\phi_i \\ &\times \sin\phi_i + (\ddot{y} + 2\omega \dot{x} + \dot{\omega}x - \omega^2 y) \cos\phi_i] \\ &+ c_r \delta_i^2 \dot{\phi}_i + k_d d^2 q_i(\phi_i) + \delta_i \dot{\omega} + \dot{\delta}_i \dot{\phi}_i = 0\end{aligned}\quad (7)$$

که

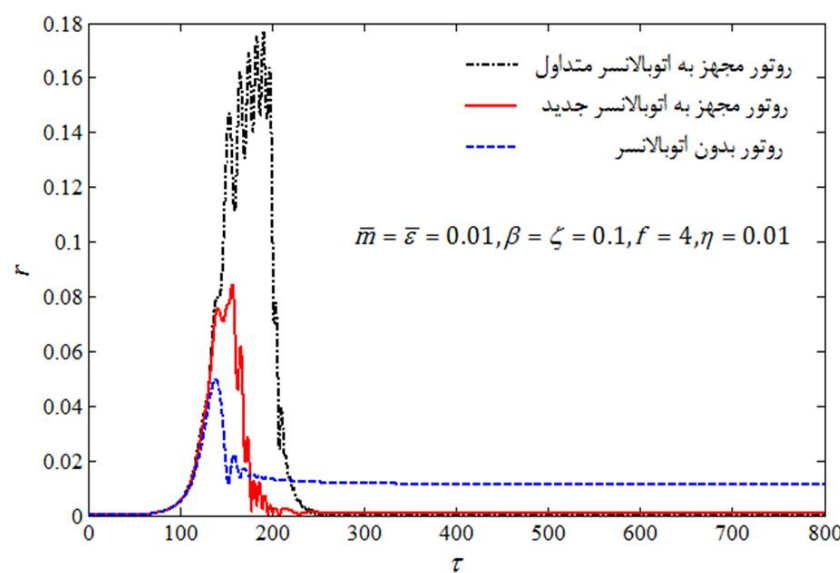
$$\begin{aligned}q_1(\phi) &= (\phi_1 - \phi_2 - \frac{2\pi}{n}) \\ q_i(\phi) &= (2\phi_i - \phi_{i-1} - \phi_{i+1}) \\ q_n(\phi) &= (\phi_n - \phi_{n-1} - \frac{2\pi}{n}) \\ i &= 2, 3, \dots, n-1\end{aligned}\quad (8)$$

$$\begin{aligned}m_b [(\ddot{y} + 2\omega \dot{x} - \omega^2 y) \sin\phi_i - \delta_i(\dot{\phi}_i + \omega)^2 \\ + (\ddot{x} - 2\omega \dot{y} - \omega^2 x) \cos\phi_i + \dot{\delta}_i] + c_r \dot{\delta}_i \\ + k_b(\delta_i - a) + m_b \dot{\omega}(x \sin\phi_i - y \cos\phi_i) = 0\end{aligned}\quad (9)$$

لازم به توضیح است که رابطه (5) مربوط به درجه آزادی x ساچمه‌ها، رابطه

(6) مربوط به درجه آزادی y ساچمه‌ها، رابطه (7) مربوط به درجه آزادی

محیطی ساچمه‌ها (ϕ_i) و رابطه (9) مربوط به درجه آزادی شعاعی ساچمه‌ها



شکل ۲ پاسخ زمانی سیستم برای روتور مجهز به اتوبالانسر نوع متداول (---)، روتور مجهز به اتوبالانسر نوع جدید (—) و روتور، بدون اتوبالانسر (---) به ازای $\eta = 0.01$ ، $f = 4$ $m = 0.01$ ، $\bar{e} = 0.01$ ، $\zeta = 0.1$ ، $\beta = 0.1$ و $\bar{m} = \bar{e} = 0.01$.

با در نظر گرفتن $\vec{x} = \vec{x}^*$ ، وضعیت‌های تعادل مطابق رابطه (20) می‌باشد:

$$\vec{X}(x^*) = 0 \quad (20)$$

از رابطه (20) روابط (21) تا (24) حاصل می‌شود:

$$(1 - \bar{\omega}^2)x^* - 2\zeta\bar{\omega}y^* - (1 - \bar{m})\bar{e}\bar{\omega}^2 - \bar{\omega}^2\bar{m}\sum_{i=1}^n (\delta_i^* \cos \phi_i^*) = 0 \quad (21)$$

$$(1 - \bar{\omega}^2)y^* + 2\zeta\bar{\omega}x^* - \bar{\omega}^2\bar{m}\sum_{i=1}^n (\delta_i^* \sin \phi_i^*) = 0 \quad (22)$$

$$\bar{\omega}^2\bar{m}\delta_i^*(x^* \sin \phi_i^* - y^* \cos \phi_i^*) = 0 \quad i = 1 \dots n \quad (23)$$

$$\bar{m}[(f^2 - \bar{\omega}^2)(\delta_i^* - 1) - \bar{\omega}^2(x^* \cos \phi_i^* + y^* \sin \phi_i^*)] = 0 \quad i = 1 \dots n \quad (24)$$

با بیان x^* و y^* به صورت قطبی $x^* = r^* \cos \theta^*$ و $y^* = r^* \sin \theta^*$ که r^* نشانگر دامنه ارتعاشات روتور در حالت پایا می‌باشد، روابط (25) تا (28) بدست می‌آید:

$$(1 - \bar{\omega}^2)r^* \cos \theta^* - 2\zeta\bar{\omega}r^* \sin \theta^* - (1 - \bar{m})\times \bar{e}\bar{\omega}^2 - \bar{\omega}^2\bar{m}\sum_{i=1}^n (\delta_i^* \cos \phi_i^*) = 0 \quad (25)$$

$$(1 - \bar{\omega}^2)r^* \sin \theta^* + 2\zeta\bar{\omega}r^* \cos \theta^* - \bar{\omega}^2\bar{m}\times \sum_{i=1}^n (\delta_i^* \sin \phi_i^*) = 0 \quad (26)$$

$$\bar{\omega}^2\bar{m}\delta_i^*r^* \sin(\phi_i^* - \theta^*) = 0 \quad (27)$$

$$\bar{m}[(f^2 - \bar{\omega}^2)(\delta_i^* - 1) - \bar{\omega}^2r^* \cos(\phi_i^* - \theta^*)] = 0 \quad (28)$$

براساس معادلات به دست آمده از روابط (25) تا (28) می‌توان وضعیت‌های تعادل سیستم را برای دو مقدار $0 < r^* < 1$ استخراج کرد. با توجه به اهمیت حالت بالانس، در اینجا فقط وضعیت بالانس، $r^* = 0$ ، مورد بررسی قرار می‌گیرد. در حالت بالانس، با قرار دادن $0 < r^* < 1$ در معادلات (25) تا (28) سه معادله (29) تا (31) حاصل می‌شود:

$$\sum_{i=1}^n (\delta_i^* \cos \phi_i^*) + \frac{(1 - \bar{m})\bar{e}}{\bar{m}} = 0 \quad (29)$$

$$\sum_{i=1}^n \sin \phi_i^* = 0 \quad (30)$$

$$\delta_i^* = 1 \quad (31)$$

معادلات (29) تا (31) وضعیت قرارگیری ساقمه‌ها در حالت بالانس را نشان می‌دهند. برای بررسی ارتعاشات کوچک سیستم حول نقاط تعادل پایدار، از مختصه‌های اغتشاشی به صورت رابطه (32) استفاده می‌شود:

$$\vec{x} = \vec{x}^* + \Delta\vec{x} \quad (32)$$

که در آن \vec{x}^* نقطه تعادل سیستم است و بردار $\Delta\vec{x}$ به صورت رابطه (33) تعریف می‌شود:

$$\Delta\vec{x} = [\Delta x, \Delta y, \Delta \phi_1, \dots, \Delta \phi_n, \Delta \delta_1, \dots, \Delta \delta_n]^T \quad (33)$$

در واقع مؤلفه‌های $\Delta x, \Delta y, \Delta \phi_i$ و $\Delta \delta_i$ تغییرات بسیار

اتوبالانسر نوع جدید سبب کاهش دامنه در ناحیه گذرا می‌شود که این امر سبب افزایش عمر سیستم نیز می‌گردد.

4- تعیین ناحیه بالانس پایدار

برای تعیین ناحیه بالانس پایدار، ابتدا نقاط تعادل سیستم مورد نظر را پیدا کرده و در ادامه با خطی‌سازی معادلات حول نقاط تعادل پایداری سیستم مورد بررسی قرار می‌گیرد.

1-4- تعیین موقعیت‌های تعادل و خطی‌سازی معادلات حاکم حول نقاط تعادل

برای تعیین نقاط تعادل باید ابتدا معادلات در فضای حالت بیان شوند. سپس با صفر قرار دادن بردار تحریک، نقاط تعادل بدست می‌آید. معادلات حرکت در فضای حالت به صورت ماتریسی - برداری به شکل رابطه (15) بیان می‌شوند:

$$A(x)\vec{x} = \vec{X}(x) \quad (15)$$

که در آن \vec{x} بردار حالت، \vec{X} بردار تحریک و A ماتریس سیستم است که به ترتیب به صورت روابط (16) تا (18) بیان می‌شوند:

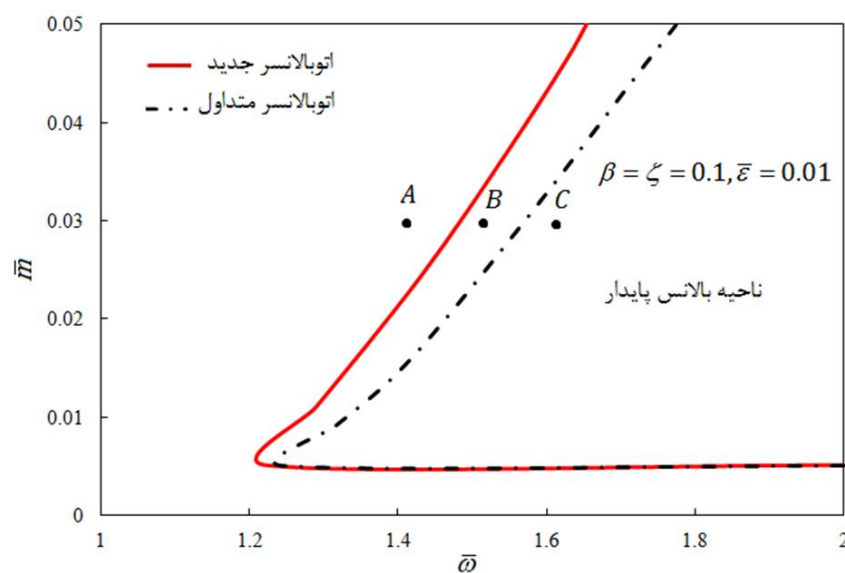
$$\vec{x} = [x, y, \phi_1, \dots, \phi_n, \delta_1, \dots, \delta_n]^T \quad (16)$$

$$\vec{X} = [X_x, X_y, X_{\phi_1}, \dots, X_{\phi_n}, X_{\delta_1}, \dots, X_{\delta_n}]^T \quad (17)$$

$$A = \begin{bmatrix} I & 0 \\ 0 & M \end{bmatrix} \quad (18)$$

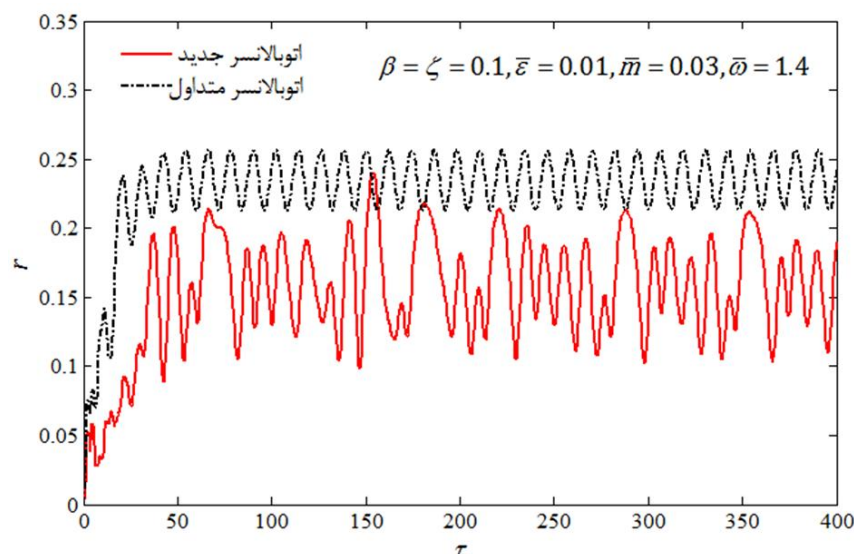
در رابطه (18)، I ماتریس مربعی واحد از مرتبه $n+4$ می‌باشد و ماتریس M به صورت رابطه (19) بدست می‌آید:

$$\mathbf{M} = \begin{bmatrix} 1 & 0 & -\bar{m}\bar{\delta}_1 \sin \phi_1 \\ 0 & 1 & \bar{m}\bar{\delta}_1 \cos \phi_1 \\ -\bar{m}\bar{\delta}_1 \sin \phi_1 & \bar{m}\bar{\delta}_1 \cos \phi_1 & \bar{m}\bar{\delta}_1^2 \\ -\bar{m}\bar{\delta}_2 \sin \phi_2 & \bar{m}\bar{\delta}_2 \cos \phi_2 & 0 \\ \vdots & \vdots & 0 \\ -\bar{m}\bar{\delta}_n \sin \phi_n & \bar{m}\bar{\delta}_n \cos \phi_n & 0 \\ \bar{m}\cos \phi_1 & \bar{m}\sin \phi_1 & 0 \\ \bar{m}\cos \phi_2 & \bar{m}\sin \phi_2 & 0 \\ \vdots & \vdots & \vdots \\ \bar{m}\cos \phi_n & \bar{m}\sin \phi_n & 0 \\ -\bar{m}\bar{\delta}_2 \sin \phi_2 & \dots & -\bar{m}\bar{\delta}_n \sin \phi_n \bar{m}\cos \phi_1 \\ \bar{m}\bar{\delta}_2 \cos \phi_2 & \dots & \bar{m}\bar{\delta}_n \cos \phi_n \bar{m}\sin \phi_1 \\ 0 & \dots & 0 & 0 \\ \bar{m}\bar{\delta}_2^2 & \dots & 0 & 0 \\ 0 & \ddots & \vdots & 0 \\ 0 & \dots & \bar{m}\bar{\delta}_n^2 & 0 \\ 0 & \dots & 0 & \bar{m} \\ 0 & \dots & 0 & 0 \\ \vdots & \dots & \vdots & \vdots \\ 0 & \dots & 0 & 0 \\ \bar{m}\cos \phi_2 & \dots & \bar{m}\cos \phi_n & 0 \\ \bar{m}\sin \phi_2 & \dots & \bar{m}\sin \phi_n & 0 \\ 0 & \dots & 0 & 0 \\ 0 & \dots & 0 & 0 \\ 0 & \dots & 0 & 0 \\ \bar{m} & \dots & 0 & 0 \\ \vdots & \ddots & \vdots & \vdots \\ 0 & \dots & 0 & 0 \end{bmatrix} \quad (19)$$

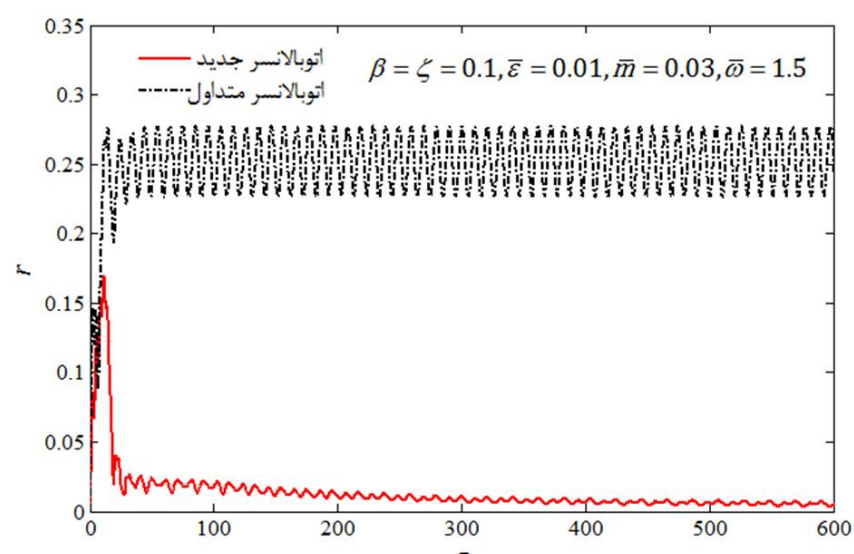


شکل 3 ناحیه بالانس پایدار براساس تغییرات سرعت دورانی بی بعد نسبت به جرم بی بعد ساقمه‌ها

به منظور صحه‌سنگی نتایج، در ادامه پاسخ‌های زمانی مربوط به روتور مجهر به اتوبالانسر متداول و اتوبالانسر جدید به ازای $\beta = \zeta = 0.1$, $\bar{\epsilon} = 0.01$ و $\bar{m} = 0.03$ در سه حالت (الف) $\bar{\omega} = 1.4$, (ب) $\bar{\omega} = 1.5$ و (ج) $\bar{\omega} = 1.6$ به دست آمده است. سه حالت اخیر در شکل 3 به ترتیب توسط نقاط A, B و C مشخص شده است. همان‌طور که از این شکل مشاهده می‌شود در حالت (ب) (الف) هر دو اتوبالانسر قادر به بالانس نبوده‌اند ولی در حالت (ب) اتوبالانسر نوع جدید روتور را بالانس کرده در حالی که نوع متداول قادر به بالانس سیستم نیست. در حالت (ج) هر دو نوع اتوبالانسر قادر به بالانس سیستم هستند.



شکل 4-الف پاسخ زمانی سیستم برای روتور مجهر به اتوبالانسر نوع متداول (---) و روتور مجهر به اتوبالانسر نوع جدید (—) به ازای $\bar{\omega} = 1.4$



شکل 4-ب پاسخ زمانی سیستم برای روتور مجهر به اتوبالانسر نوع متداول (---) و روتور مجهر به اتوبالانسر نوع جدید (—) به ازای $\bar{\omega} = 1.5$

کوچکی هستند که به ترتیب در $x, y, \phi_i, \delta_i, \dot{x}, \dot{y}, \dot{\phi}_i$ و $\dot{\delta}_i$ داده شده‌اند. با در نظر گرفتن روابط فوق، معادلات حرکت در فضای حالت به صورت رابطه (34) بدست می‌آید:

$$A(x^* + \Delta x)\Delta \vec{x} = \vec{X}(x^* + \Delta x) - \vec{X}(x^*) \quad (34)$$

با بسط رابطه (34) و صرف نظر کردن از جملات مرتبه دوم و بالاتر Δx رابطه (35) حاصل می‌شود:

$$A(x^*)\Delta \vec{x} = B\Delta \vec{X} \quad (35)$$

در رابطه (35), B^* ماتریسی مربعی از مرتبه $(n+4)^2$ می‌باشد که به صورت رابطه (36) تعریف می‌شود:

$$B^* = \begin{bmatrix} 0 & I \\ -K^* & -C^* \end{bmatrix} \quad (36)$$

و ماتریس‌های C^* و K^* ماتریس‌های مربعی هستند که به دلیل مفصل بودن از آوردن آنها خودداری شده است.

2-4- بررسی پایداری

پایداری سیستم از روش اول لیاپانوف (بررسی پایداری سیستم حول نقاط تعادل) بررسی می‌شود. همان‌طور که قبلًا توضیح داده شد با در نظر گرفتن تغییرات کوچک حول نقطه تعادل، معادلات حاکم را می‌توان به صورت رابطه (37) نمایش داد:

$$A^*\Delta \dot{x} = B^*\Delta X \quad (37)$$

پایداری حول وضعیت تعادل را می‌توان به یک مسئله مقدار ویژه تبدیل نمود، پاسخ سیستم به صورت رابطه (38) در نظر گرفته می‌شود:

$$\Delta x = \Delta X e^{\lambda t} \quad (38)$$

که در آن λ مقدار ویژه و ΔX بردار ویژه متناظر با آن می‌باشد. معادلات حاکم، به مسئله مقدار ویژه مطابق رابطه (39) تبدیل می‌شود:

$$(B^* - \lambda A^*)\Delta X = 0 \quad (39)$$

هنگامی که همه مقادیر ویژه دارای قسمت حقیقی منفی باشند سیستم به صورت مجانبی پایدار است. به عبارت دیگر اگر یکی از مقادیر ویژه دارای قسمت حقیقی مثبت باشد، سیستم ناپایدار است. مسئله مقدار ویژه را می‌توان با حل معادله مشخصه که به صورت رابطه (40) به دست می‌آید حل نمود:

$$\det(B^* - \lambda A^*) = 0 \quad (40)$$

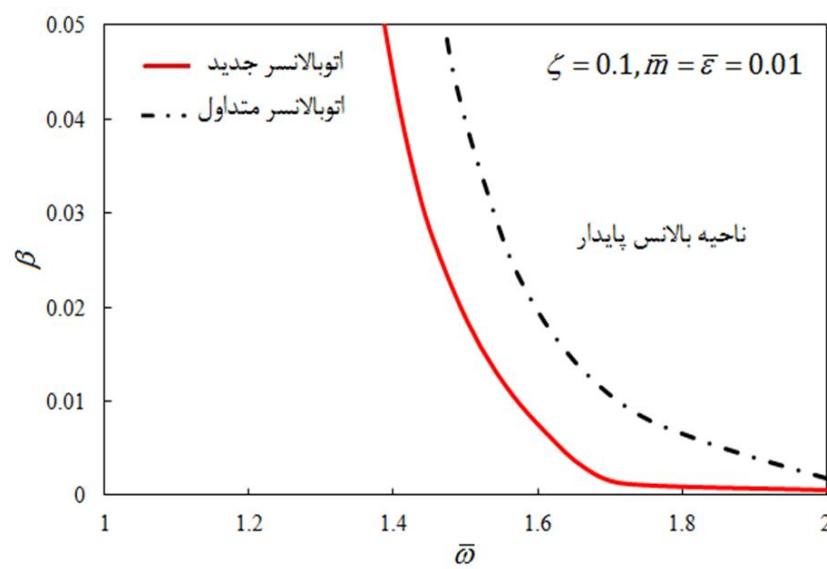
رابطه (40) را می‌توان با یک چند جمله‌ای بر حسب λ به صورت رابطه (41) بیان کرد:

$$\sum_{i=0}^n c_i \lambda^i = 0 \quad (41)$$

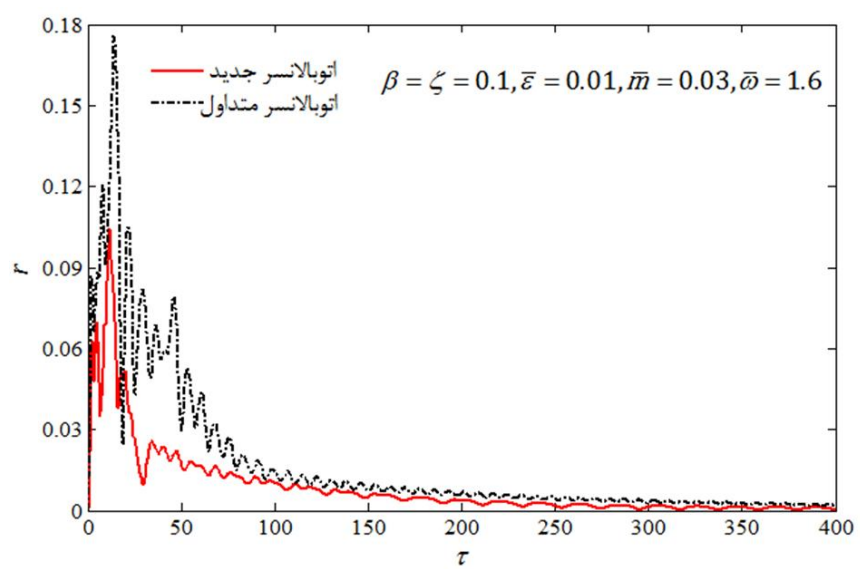
با جای‌گذاری نقاط تعادل سیستم در رابطه (40) ثابت معادله مشخصه به صورت تابعی از پارامترهای بی بعد سیستم شامل β , ζ , $\bar{\epsilon}$, \bar{m} و $\bar{\omega}$ به دست می‌آید. پس هر یک از ثوابت c_i در حالت کلی تابعی از پارامترهای بی بعد سیستم است. بنابراین مقادیر ویژه سیستم نیز تابعی از این پارامترها خواهد بود.

با توجه به این که نواحی پایدار بر حسب تمامی پارامترها را نمی‌توان به طور همزمان نشان داد، در هر مرحله به سه پارامتر از پنج پارامتر فوق مقدار داده و نواحی پایدار بر حسب دو پارامتر دیگر رسم می‌شود. شکل 3 نواحی پایدار بر حسب پارامترهای \bar{m} و $\bar{\omega}$ را نشان می‌دهد. در این حالت بقیه پارامتر $\zeta = \beta = 0.1$ و $\bar{\epsilon} = 0.01$ در نظر گرفته شده‌اند.

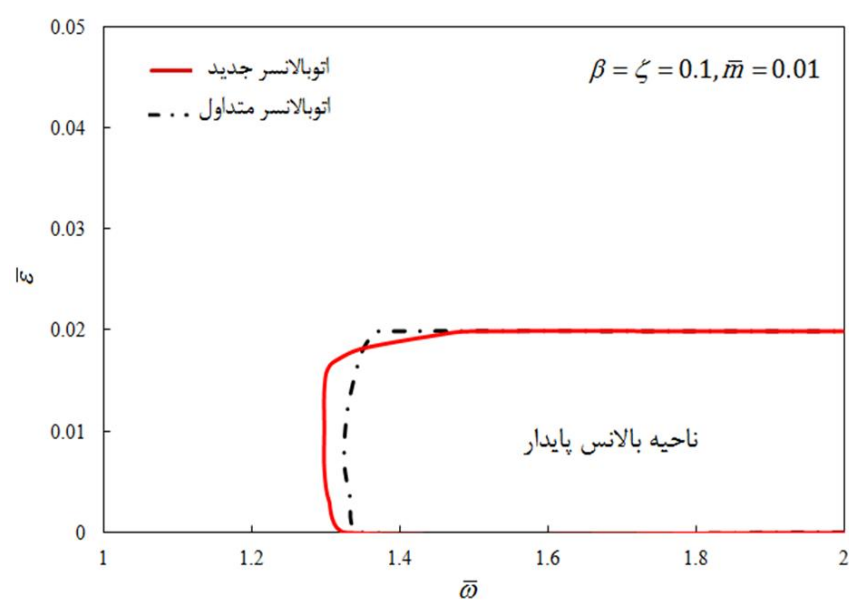
همان‌طور که از شکل 3 مشاهده می‌شود محدوده بالانس پایدار روتور مجهر به اتوبالانسر جدید نسبت به روتور مجهر به اتوبالانسر متداول بیشتر است. با توجه به این که در اتوبالانسر نوع جدید ساقمه‌ها به فرنهای شعاعی متصل هستند بنابراین هر یک از ساقمه‌ها علاوه بر حرکت محیطی قادر به حرکت شعاعی نیز می‌باشد که این امر سبب افزایش تعداد درجهات آزادی سیستم می‌شود. افزایش تعداد درجهات آزادی سبب افزایش ناحیه بالانس پایدار می‌شود.



شکل 6 ناحیه بالанс پایدار براساس تغییرات سرعت دورانی بی بعد نسبت به ضریب میرایی اتوبالانسر



شکل 4-ج پاسخ زمانی سیستم برای روتور مجهز به اتوبالانسر نوع متداول (---) و روتور مجهز به اتوبالانسر نوع جدید (—) به ازای $\bar{\omega} = 1.6$

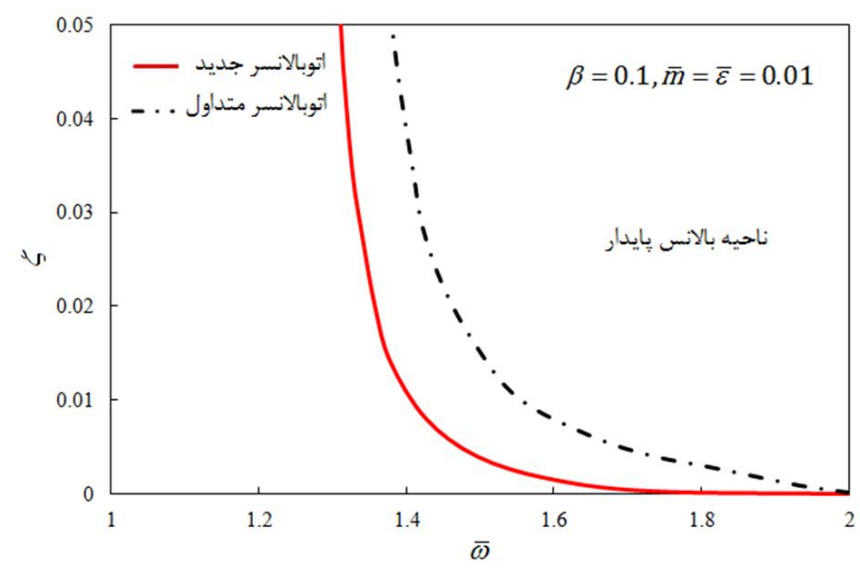


شکل 7 ناحیه بالанс پایدار براساس تغییرات سرعت دورانی بی بعد نسبت به خروج از مرکز بی بعد

2- در اتوبالانسر جدید پیشنهادی، برخلاف اتوبالانسر متداول که در آن ساقمه‌ها مقید به حرکت در داخل شیار هستند، متصل بودن ساقمه‌ها به فنرهای شعاعی باعث آزادی عمل بیشتر ساقمه‌ها نسبت به اتوبالانسر متداول می‌شود که این امر سبب افزایش محدودی بالанс پایدار می‌گردد. افزایش محدودی بالанс پایدار سبب می‌شود تا این نوع اتوبالانسر قادر به بالанс سیستم‌ها با محدوده‌ی وسیعی از مقادیر پارامترها باشد.

6- مراجع

- [1] W. Kim, J. Chung, Performance of automatic ball balancers on optical disc drives, *Proc. Inst. Mech. Eng., Part C: J. Mech. Eng. Sci.*, Vol. 216, pp. 1071-1080, 2002.
- [2] P.C.P. Chao, C. K. Sung, C.-C. Wang, Dynamic analysis of the optical disk drives equipped with an automatic ball balancer with consideration of torsional motions, *ASME J. Appl. Mech.*, Vol. 72, pp. 826-842, 2005.
- [3] P.C.P. Chao, C.K. Sung, H.C. Leu, Effects of rolling friction of the balancing balls on the automatic ball balancer for optical disk drives, *J. Tribol.*, Vol. 127, pp. 845-856, 2005.
- [4] C. Rajalingham, S. Rakheja, Whirl suppression in hand-held power tool rotors using guided rolling balancers, *J. Sound and Vibrations*, Vol. 217, pp. 453-466, 1998.
- [5] Thearle e. L, automatic dynamic balancers, *Machine Design*, vol. 22, pp. 119- 124, 1950.
- [6] Alexander j. D, an automatic dynamic balancer, *proceeding for second southeastern conference*, vol.2, pp. 415-426, 1964.
- [7] Cade g. W, self- compensating balancing in rotating mechanisms, *Mechanism Machine Theory*, vol. 23, pp. 71-78, 1965.
- [8] J. Chung, D. S. Ro, dynamic analysis of an automatic dynamic balancer for rotating mechanism, *J. Sound and Vibrations*, Vol. 228, No. 5, pp. 1035-1056, 1999.



شکل 5 ناحیه بالанс پایدار براساس تغییرات سرعت دورانی بی بعد نسبت به ضریب میرایی سیستم

در شکل‌های 4-الف تا 4-ج پاسخ‌های زمانی متناظر با سه حالت ذکر شده رسم شده است. بررسی پاسخ‌های زمانی، صحت نتایج بدست آمده در شکل 3 را تایید می‌کند.

در شکل‌های 5 تا 7 نمودارهای مربوط به نواحی پایدار به ازای تغییر پارامترهای ζ , $\bar{\omega}$ و β برحسب $\bar{\omega}$ آورده شده است. همان‌طور که از این شکل‌ها مشاهده می‌شود محدوده‌ی بالанс پایدار روتور مجهز به اتوبالانسر جدید نسبت به روتور مجهز به اتوبالانسر متداول بیشتر است.

5- نتیجه‌گیری

در اتوبالانسر ساقمه‌ای متداول همگرایی ساقمه‌ها در ناحیه گذرا سبب افزایش دامنه نوسانات سیستم می‌شود. با توجه به این که این نوع اتوبالانسرها معمولاً برای سیستم‌هایی به کار می‌رود که روزانه ممکن است چند بار سیستم از ناحیه گذرا عبور کند بنابراین افزایش دامنه در این ناحیه سبب ایجاد ارتعاشات شدید و کاهش عمر سیستم می‌شود. در این نوع اتوبالانسرها برای دست یابی بالанс پایدار پارامترهای سیستم به گونه‌ای انتخاب شوند که سیستم در محدوده‌ی بالанс پایدار قرار گیرد. به همین دلیل، اتوبالانسر متداول به ازای مقادیر محدودی از پارامترهای سیستم قادر به بالанс است. در این مقاله با ارائه نوع جدیدی از اتوبالانسر راه حل‌هایی برای رفع دو عیب مذکور ارائه شد:

1- برای جلوگیری از افزایش دامنه در ناحیه گذرا، فنرهای محیطی برای کنترل موقعیت ساقمه‌ها به کار برده شد. فنرهای محیطی از همگرایی ساقمه‌ها در ناحیه گذرا جلوگیری کرده و سبب کاهش دامنه ارتعاشی سیستم در این ناحیه می‌شود.

- [18] J.Ehyaei, majid m. Moghaddam, Dynamic response and stability analysis of an unbalanced flexible rotating shaft equipped with n automatic ball-balancers, *J. sound and vibration*, Vol. 321, pp. 554- 571, 2009.
- [19] Chan t.c. sung c.k. chao c.p, Non-linear suspension of an automatic ball balancer, *Non-Linear Mechanics*, Vol. 46, pp. 415-424, 2011.
- [20] C.K. Sung., T.C. Chan., C.P. Chao., C.H. Lu., Influence of external excitations on ball positioning of an automatic balancer, *Mechanism and Machine Theory*, Vol. 69, pp. 115-126., 2013.
- [21] M. Rezaee, R. Fathi, The effect of damping ratio and balls mass on the stability of automatic ball balancer and determining their optimum values, *Modares Mechanical Engineering*, Vol. 14, No. 3, pp. 110-118, 2014. (In Persian)
- [22] M. Rezaee, R. Fathi, A.M. Alizadeh Fard, Investigating the stability of automatic ball-balancer under the gyroscopic effect and optimization of its parameters using the Nelder- Mead simplex algorithm, *Modares Mechanical Engineering*, Vol. 14, No. 14, pp. 155-166, 2015. (In Persian)
- [23] W.Y. Huang C.P. Chao J.R. Kang C.K. Sung, The application of ball-type balancers for radial vibration reduction of high-speed optic disk drives, *J. Sound and Vibration*, Vol. 250, No. 3, pp. 415-430, 2002.
- [24] Y. Ishida, T. Matsuura, X.L. Zhang, Efficiency improvement of an automatic ball balancer, *Trans. ASME, J. Vibr. Acoust.*, 2012.
- [25] Kim, Taekil, Sungsoo Na., New automatic ball balancer design to reduce transient-response in rotor system, *Mechanical Systems and Signal Processing*, Vol. 37.1, pp. 265-275, 2013.
- [26] Lu, Chung-Jen, and Ming-Cheng Wang, Stability analysis of a ball-rod-spring automatic balancer, *International Journal of Mechanical Sciences*, Vol. 53, pp. 846-854, 2011.
- [9] C.J. Lu M.C. Wang Sh.H. Huang, Analytical study of the stability of a two-ball automatic balancer, *Mechanical Systems and Signal Processing*, vol.23, pp. 884-896, 2009.
- [10] Chung-Jen Lu1, Chia-Hsing Hung, Stability Analysis of a Three-Ball Automatic Balancer, *J. Vibration and Acoustics*. Vol. 130, 2008.
- [11] H. Hwang, J. Chung, Dynamic analysis of an automatic ball balancer with double races, *JSME International Journal*, Vol. 42, pp. 265-272, 1999.
- [12] Lee j. V. moorhem w. K, analytical and experimental analysis of self-compensating dynamic balancer in a rotating mechanism, *Asme Dynamic Systems Measurement and Control*, Vol. 118, pp. 468-475, 1996.
- [13] P.C.P. Chao, Y. D.Huang, C.-K. Sung, Non-planar dynamic modeling for the optical disk drive spindles equipped with an automatic balancer, *Mech. Mach. Theory*, Vol. 38, pp. 1289-1305, 2003.
- [14] W. Kim, D.-J. Lee, J. Chung, Three-dimensional modeling and dynamic analysis of an automatic ball balancer in an optical disk drive, *J. Sound and Vibrations*, Vol. 285, pp. 547-569, 2005.
- [15] C. Rajalingham r. B. Baht, complete balancing of disk mounted on a vertical cantilever shaft using a two ball automatic balancer, *J. Sound and Vibration*, pp. 169- 191, 2006.
- [16] J.Chung, I. Jang, Dynamic response and stability analysis of an automatic ball balancer for a flexible rotor, *J. Sound and Vibration*, Vol. 259, No. 1, pp. 31-43, 2003.
- [17] P.C.P. Chao, C.K. Sung, S.T. Wu, J.S. Huang, Non-planar modeling and experimental validation of a spindle-disk system equipped with an automatic balancer system in optical disk drives, *Microsyst. Technol. Micro-and Nanosyst.-Inf. Storage Process. Syst.*, Vol. 13, pp. 1227-1239, 2007.